

プログラマブル・ゲイン機能を備える 計装アンプの設計、広帯域/高精度の シグナル・チェーンに対応するには?

著者: Maithil Pachchigar、システム・アプリケーション・エンジニア John Neeko Garlitos、プロダクト・アプリケーション・エンジニア

本稿では、広帯域/高精度のシグナル・チェーン向けに、 プログラマブル・ゲイン機能を備える計装アンプ (PGIA: Programmable Gain Instrumentation Amplifier) を設計す る方法を説明します。その内容は、ディスクリート部品の選択 方法から、PGIA回路の性能評価の方法までにわたります。本 稿を活用することにより、設計の繰り返しによって生じる時間 や労力の浪費を回避することができます。本稿で取り上げる PGIAのアーキテクチャは、高精度の逐次比較型 A/Dコンバー タ(SAR ADC)をベースとするシグナル・チェーンを、その 最高速度に対応して駆動できるよう最適化されています。ま た、本稿では、ゲインを様々な値に設定して広帯域対応のシグ ナル・チェーンを駆動する場合の性能評価の結果も紹介します。

はじめに

通常、高精度のデータ・アクイジション・サブシステムでは、 ディスクリート/リニア構成の回路ブロックから成るシグナル・ チェーンが使用されます。それにより、信号の測定、コンディショ ニング、アクイジション、合成、駆動、保護などの処理が行われ ます。通常、そうしたシグナル・チェーンには、様々なセンサー を直接接続できるようにするために高い入力インピーダンスが必 要になります。また、多くの場合、様々な入力信号の振幅に回路 が対応できるようにするために、ゲインをプログラマブルに設定 する機能が求められます。入力信号の種類としては、ユニポーラ、 バイポーラ、シングルエンド、あるいはコモンモード電圧が様々 な値の差動型などがあり得ます。従来、大半のPGIAはシングル エンド出力の形で構成されていました。その種のPGIAでは、高 精度な完全差動型のSAR ADCをベースとするシグナル・チェー ンを、その最高速度に対応して駆動することができません。その ような駆動を実現するためには、少なくとも1つのシグナル・コ ンディショニング段または駆動段を追加する必要がありました。 しかし、業界のダイナミクスは急速に進んでいます。現在は、シ ステム・ソリューションの差別化に向けて、システム・ソフトウェ アやシステム・アプリケーションへの関心が高まっている状況に あります。一方で、研究開発の予算と製品を市場に投入するまで の時間には厳しい制約が課せられています。そのため、機能の検 証に向けてアナログ回路を設計/試作する時間を十分に確保する ことが難しくなりました。ハードウェアを開発するためのリソー スの観点からも、設計の繰り返し回数を削減することが強く求め られています。本稿では、広帯域対応の完全差動型PGIAをディ スクリート構成で設計する場合に重要になるいくつかの側面に注 目します。また、 μ Module [®]技術で実現したデータ・アクイジ ション向けの高速シグナル・チェーン製品を駆動する際、その種 のPGIAによってどの程度の精度/性能が得られるのかを明らか にします。

















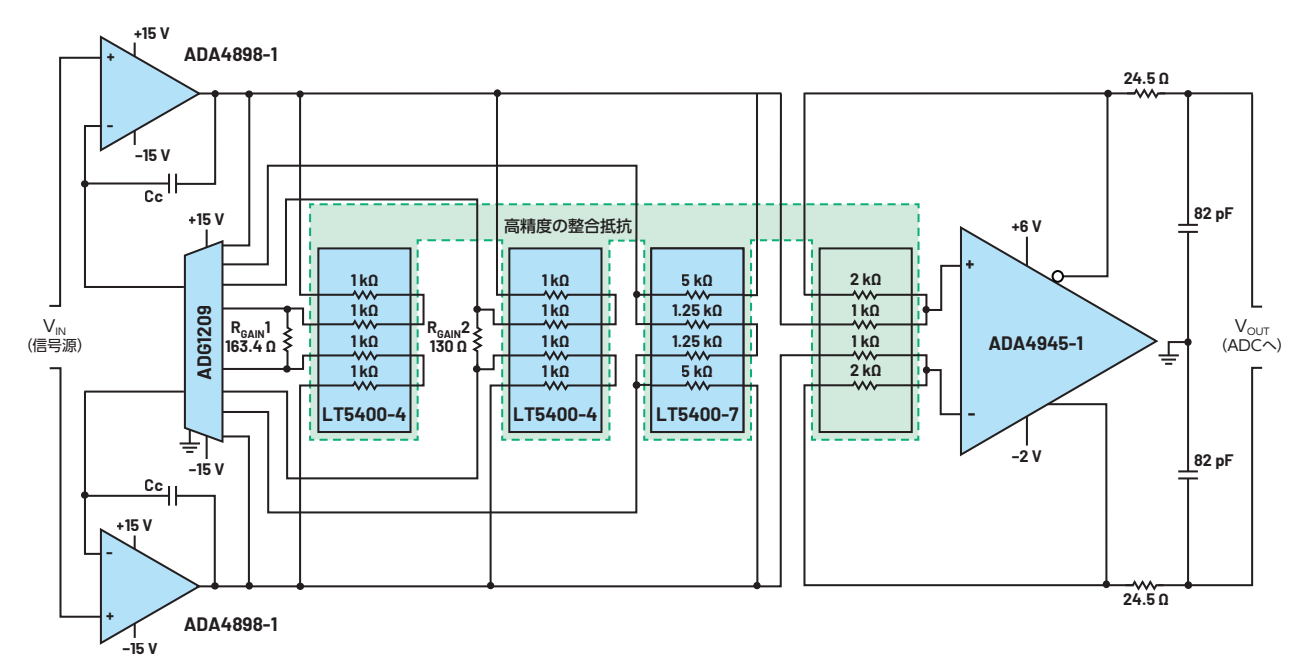


図 1. PGIA 回路のブロック図

本稿で取り上げるPGIAの仕様

まずは図1をご覧ください。これは、本稿で紹介するPGIAのブ ロック図を簡略化して示したものです。この広帯域対応の完全差 動型PGIAは、ディスクリート構成で実現されています。表1に、 このPGIA/シグナル・チェーンの主な仕様項目、設計上の要件 をまとめました。

図1のPGIAは、以下の製品を使用して構成しています。

- ▶ ADA4898-1:低ノイズの高速アンプ。ゲインがプログラマブ ルなアンプ回路を実現するための中核的な要素
- ▶ LT5400 シリーズ: クワッド・タイプの整合抵抗ネットワーク 製品。ADA4898-1 をベースとするアンプ回路のゲインを設 定するための抵抗(以下、ゲイン抵抗)と帰還抵抗として使
- ▶ ADG1209:iCMOS[™]で製造される低容量のマルチプレクサ。 上記アンプ回路のゲインの設定に使用
- ▶ ADA4945-1:広帯域に対応する完全差動アンプ (FDA: Fully Differential Amplifier)。SAR ADC を直接駆動する場 合に使用

これらの製品は、表1に示したPGIAの仕様を満たします。また、 いずれも以下に挙げる製品を駆動する際に最適なAC/DC性能が 得られるように選択したものです。図1のPGIAがターゲットと するものとしては、まず「ADAQ23875」や「ADAQ23878」 といったデータ・アクイジション向けのμModule製品が挙げら れます。これらの製品は、SAR ADCをベースとする完全差動型 の高速シグナル・チェーンとして機能します。また、図1のPGIA は、「LTC2387-16/LTC2387-18」といった高速/高精度のSAR ADCもターゲットとしています。

表 1. 本稿で紹介する PGIA / シグナル・チェーンの 主な什様項目、設計上の要件

土は江惊頃日、設訂上の安計						
PGIAの仕様項目	設計上の要件	備考				
出力コモンモード 電圧	2.048V	固定				
ADCに対する 差動出力	8.192V p-p	固定				
ゲイン (シングル エンドまたは差動)	2、10、64、128	プログラマブル				
電源 (+V _s /-V _s)	+15V/-15V、 -6V/-2V	FDAには5Vの単一電源を 使用可能(トレードオフ としてS/N比が 3dB〜4dBほど低下)				
帯域幅	> 50MHz	SAR ADCを15MSPS で駆動するために必要				
ノイズ	< 2nV/√Hz	85dB以上のS/N比を 達成するために必要				
オフセット電圧の ドリフト	≤ 2µV/°C	全体的にドリフトを 低減し、システム・ キャリブレーションの 負担を軽減				
CMRR	> 90dB(すべて のゲインに対して)					
シグナル・チェーンの 仕様項目						
完全差動型の µModule	16ビット/18ビット					
μModuleの サンプル・レート	15 MSPS	必要に応じて 低いサンプル・レートを 使用可能				
S/N比(100kHz における)	> 85dB(ゲインが 2の場合)、 > 73dB(ゲインが 128の場合)	設計目標				
THD (100kHz における)	< -105dB(ゲインが 2の場合)、 < -70dB(ゲインが 128の場合)	設計目標				

設計上のポイントはアンプの仕様

図1のPGIA回路では、何が設計上のポイントになっているので しょうか。つまり、µModule技術で実現した高速SAR ADCベー スのシグナル・チェーンを駆動し、最適な性能を得るためには 何が重要なのかということです。その答えは、アンプ回路で使 用するADA4898-1とFDAであるADA4945-1の主要な仕様で す。例えば、帯域幅、スルー・レート、ノイズ、歪みなどが重 要な要素になります。ADA4898-1とADA4945-1を選択した のは、それぞれのゲイン帯域幅積(GB積)が、このシグナル・ チェーン全体の帯域幅の要件を満たしているからです。なお、 ADA4945-1 (FDA) は、LTC2387-16/LTC2387-18のような FDAを内蔵していないADCを駆動する場合にだけ必要になりま す。

PGIAのゲインの設定方法

PGIAのゲインを設定する方法や性能は、アンプ、帰還抵抗、マ ルチプレクサの選択に依存します。以下、これらについて詳しく 説明していきます。

ゲイン抵抗と帰還抵抗の選択

ADA4898-1をベースとするアンプ回路では、ゲイン抵抗と帰還 抵抗を使用します。これらは、正確にマッチング(整合)してい る必要があります。クワッド・タイプの抵抗ネットワークである LT5400は、広い温度範囲にわたって0.01%のマッチング性能 と0.2ppm/℃のマッチング・ドリフト性能と実現します。また、 独立した整合抵抗と比べて優れたCMRR(同相ノイズ除去比)性 能を備えています。なお、最適なCMRR性能を実現するには、 FDAのゲイン抵抗も正確にマッチングさせる必要があります。

図1のPGIAにおいて、LT5400はADA4898-1をベースとする アンプ回路のゲインを設定するために使用しています。そのゲイ ンの値は、以下に示す一連の式によって計算できます。

$$V_{OUT} = I (R1 + R2 + R3 + R4) \tag{1}$$

$$V_{OUT} = \frac{V_{IN} (R1 + R2 + R3 + R4)}{R2 + R3}$$
 (2)

LT5400を使用し、R1 = R4、R2 = R3と設定すると、次式によっ てゲインが決まります。

$$[ゲイン] = \frac{V_{OUT}}{V_{IN}} = \left(1 + \frac{R1}{R2}\right) \tag{3}$$

LT5400シリーズの設定に応じて決まるアンプ回路のゲイン、 FDA (ゲインは2で固定)のゲインに応じ、PGIA全体のゲイン は表2に示す値になります。

LT5400シリーズには、表2に示したとおり、様々な抵抗値のオ プションが用意されています。マルチプレクサであるADG1209 を使ってアンプ回路をユニティ・ゲインの構成にすれば、 LT5400のブロックをバイパスすることができます。その場合、 PGIA全体のゲインは2に設定されます。

表 2. PGIA 全体のゲイン。その値は、LT5400 シリーズの 選択/設定に応じて決まります。

品番	R2=R3 (kΩ)	R1=R4 (kΩ)	R _{GAIN} (Ω)	アンプ回路 (ADA4898-1) のゲイン〔V/V〕	PGIA 全体のゲイン (V/V)
LT5400-4	1	1	N/A	2	4
LT5400-6	1	5	N/A	6	12
LT5400-7	1.25	5	N/A	5	10
LT5400-8	1	9	N/A	10	20
LT5400-4	1	1	130	31.77	63.54
LT5400-4	1	1	63.4	64.09	128.18

なお、ゲインを20より高く設定したい場合には、図2のように します。すなわち、外付けのゲイン抵抗RGAIN(マッチングのとれ た高精度の抵抗) を、2つのADA4898-1の反転入力の間に配置 した上で、LT5400-4を帰還抵抗として使用します。それにより、 64または128のゲインを実現することができます。

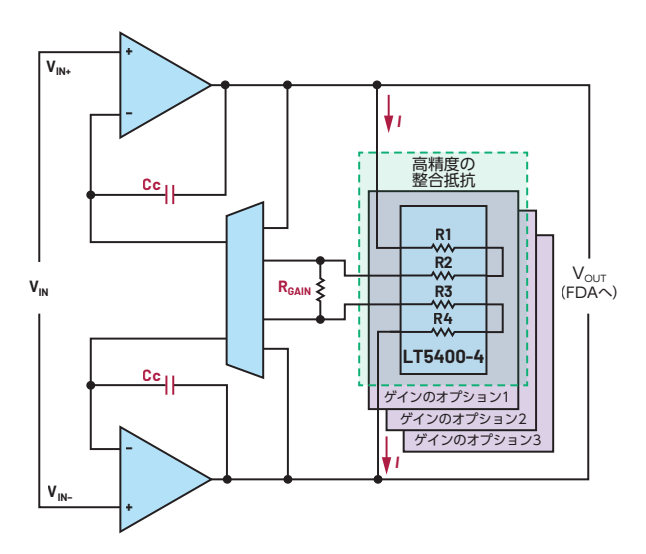


図 2. PGIA のゲインの設定方法。 マルチプレクサ、LT5400、 $R_{\sf GAIN}$ によってゲインの値が決まります。

R_{GAIN}の値は、以下に示す一連の式を使用して計算します。

$$V_{OUT} = I (R1 + R2 + R3 + R4 + R_{GAIN})$$
 (4)

$$V_{OUT} = \frac{V_{IN} (R1 + R2 + R3 + R4 + R_{GAIN})}{R_{GAIN}}$$
 (5)

$$V_{OUT} = V_{IN} \left(1 + \frac{4k}{R_{GAIN}} \right) \tag{6}$$

$$[ゲイン] = 1 + \frac{4k}{R_{GAIN}}$$
 (7)

以上の式から、R_{GAIN}の値は次式のようになります。

$$R_{GAIN} = \frac{4k}{[\mathring{\mathcal{T}}(\chi)] - 1} \tag{8}$$

マルチプレクサの選択

このPGIAでは、マルチプレクサを使ってLT5400を制御することにより、ゲインを様々な値に設定することができます。この用途に適したマルチプレクサを選択するためには、重要なパラメータであるオン抵抗 R_{ON} 、オン容量 C_{ON} 、オフ容量 C_{OFF} などについて考慮しなければなりません。その結果として、この設計ではADG1209を採用しました。補償用のコンデンサ C_{CE} でをアンプ回路の帰還パスに追加することにより、マルチプレクサの C_{ON} / C_{OFF} の影響を軽減し、ゲインのピーキングを最小限に抑えることができます。 C_{CE} Cは、 C_{CE} Cの結果、寄生容量によるゼロが帰還ループのゲインに及ぼす影響が補償されます。

Ccの値は、目標とするクローズド・ループの応答が得られるように最適化しなければなりません。ADA4898-1ベースのアンプ回路において帰還抵抗の値を高く設定すると、その入力容量が高いことが原因となって、クローズドループ・ゲインに、より大きなピーキングが現れます。この問題を回避するには、アンプ回路の帰還抵抗と並列に接続する帰還容量の値を最適化します。ここでは、図2に示したCcの値を2.7pFに設定しました。これは、ADA4898-1のデータシートで推奨されている値です。Ccの値を小さくすると、ゲインのピーキングは小さくなります。一方、Ccの値を大きくしすぎると、クローズドループ・ゲインの平坦性に影響が及びます。

PGIA用の電源

ここからは、このPGIAの実際の性能を紹介していきます。図3に、このPGIAの評価用ボードの外観を示しました。



図3. PGIAの評価用ボード

±15V電源は、PGIAのフロント・エンドへの給電に使用します。ここで言うフロント・エンドとは、2個のADA4898-1と1個のADG1209を使って構成されるアンプ回路のことです。一方、シグナル・チェーンの最適な性能を引き出すためには、FDAであるADA4945-1に対しては6Vと-2Vの電源レールが必要です。本稿の例では、このボードによる評価にベンチトップ型の電源装置を使用しました。ただ、LTpowerPlanner®を使用すれば、実際のアプリケーション回路に適したパワー・ツリーが提示されます(図4)。ご覧のように、各電源レールにおける消費電流の見積もり結果も示されます。

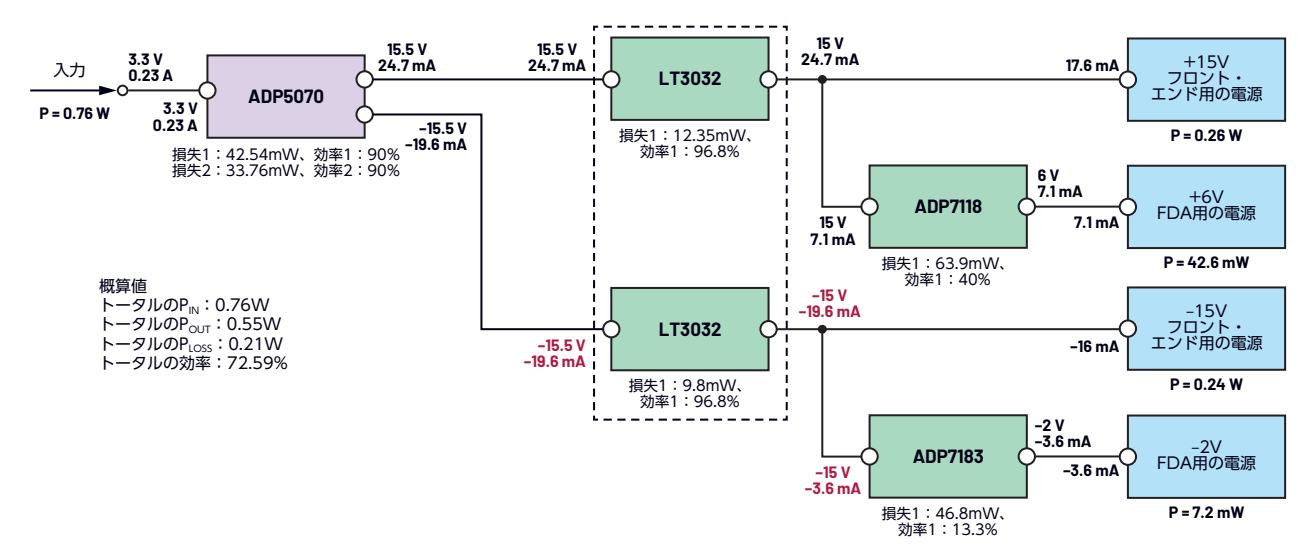


図4. 推奨されるパワー・ツリー

PGIAの性能

ここからは、図1のPGIAの評価結果を示していくことにします。

帯域幅

図5は、クローズドループ・ゲインと周波数の関係(帯域幅)を 示したものです。4種のゲインの値に対する評価結果をプロット してあります。ご覧のように、PGIAのゲインを2から128へと 高めていくにつれて帯域幅は狭くなります。また、出力換算ノイ ズが増加することから、S/N比も低下します。

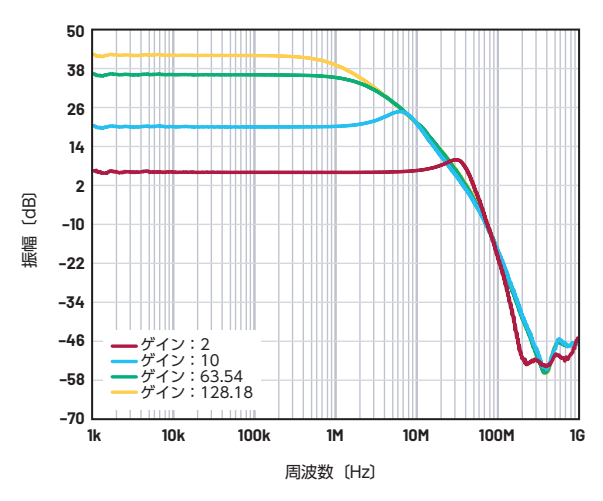


図5. ゲインと周波数の関係。 帯域幅を確認することができます。

CMRR

次に、図6をご覧ください。これは、CMRRと周波数の関係を示 したものです。図5と同様に、4種のゲインの値に対する評価結 果をプロットしています。

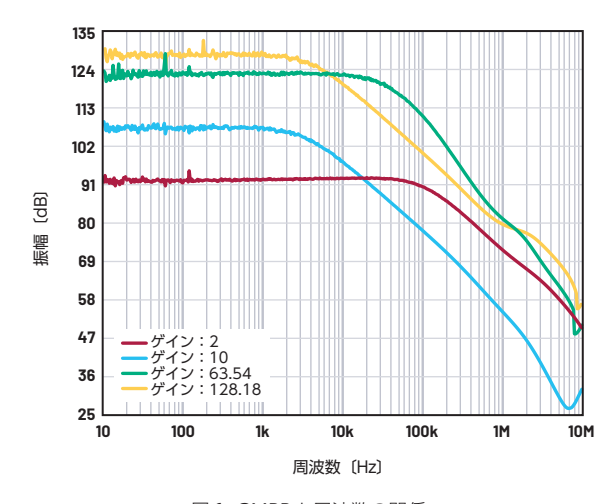


図6. CMRRと周波数の関係

歪み

続いて、図3のボードを使用し、PGIAの歪み性能を評価しまし た。その測定には、Audio Precision®のオーディオ・アナライザ 「APx555」を使用しました。この評価では、4種のゲインの値に 対し、PGIAの出力として8.192V p-pの信号が得られるように入 力電圧を調整しています。図7に示したのが、その結果です。こ のPGIAにおける全高調波歪み(THD)と周波数の関係をプロッ トしています。

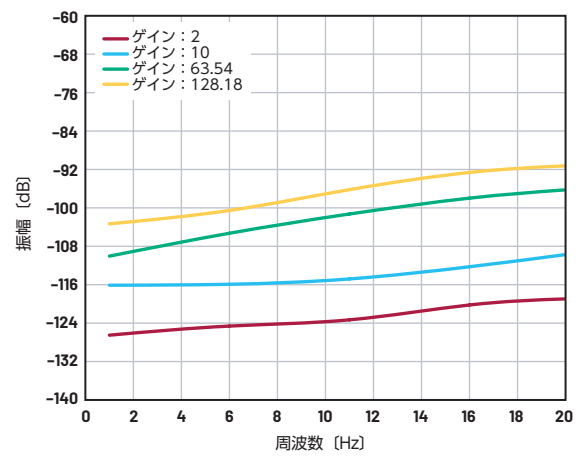


図7. THDと周波数の関係

主要な仕様の評価結果

ここまでに示したものを含め、PGIAの主要な仕様に対応する各 種特性の評価を実施しました。ここでは、帯域幅、スルー・レー ト、ドリフト、歪みの評価結果を表3としてまとめておきます。 いずれも、図3の評価用ボードを使用して測定した結果です。

表 3. PGIA 回路単体の主要な仕様の評価結果

PGIAの ゲイン[V/V]	-3dB帯域幅 〔MHz〕	スルー・レート 〔V/マイク 口秒〕	ドリフト (μV/℃)	THD(F _{IN} (\$1kHz) (dB)
2	47.7	77	0.06	-126.5
10	12.99	72	1.18	-116.11
63.54	2.15	10	0.042	-110.04
128.18	0.98	N/A	0.026	-103.32

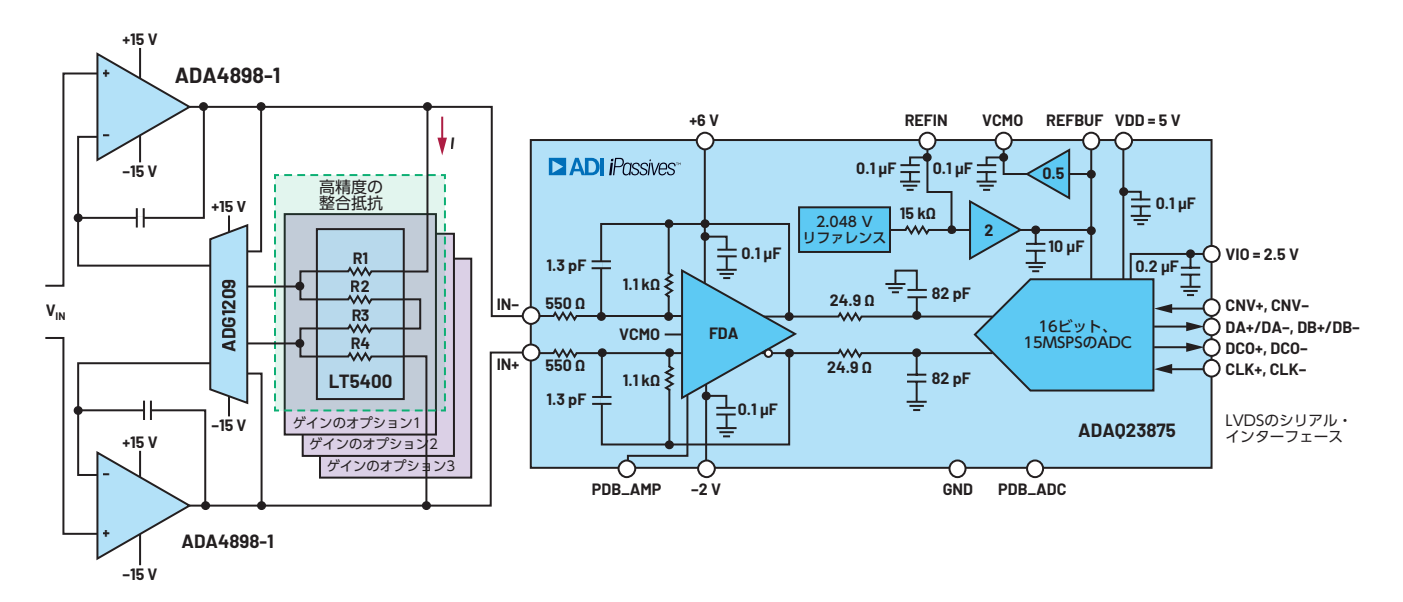


図8. PGIA (FDAは不使用) と ADAQ23875を 組み合わせたシグナル・チェーン

PGIA による µModule ベースの シグナル・チェーンの駆動

続いて、図8をご覧ください。これは、マルチプレクサである ADG1209、低ノイズの高速アンプである ADA4898-1、高精度 の整合抵抗ネットワークであるLT5400で構成したPGIAにより、15MSPSで動作する ADAQ23875を駆動する回路の例です。 ADAQ23875は、SAR ADCをベースとしてμModule技術で実現したシグナル・チェーン製品です。以下では、この回路全体の評価結果を示していきます。なお、ADAQ23875はFDAを内蔵しているので、図1の回路で使用しているFDA(ADA4945-1)は必要ありません。そこで、図3に示した評価用ボードのFDAブロックをバイパスして使用しました。また、S/N比とTHDの評価にはAudio PrecisionのAPx555を使用し、入力振幅を約-0.5dBFSに設定しました。

シグナル・チェーン全体の性能

以下、図8に示したシグナル・チェーン全体の評価結果を示して いきます。

ノイズ

表4に示したのは、ダイナミック・レンジと入力換算ノイズの評価結果です。評価にあたっては、ゲインの設定と入力範囲を適宜変更しました。

表4. PGIAでADAQ23875を駆動した場合の ダイナミック・レンジと入力換算ノイズ

PGIAのゲイン (V/V)	入力範囲 (V p-p)	ダイナミック・レンジ 〔dB〕	入力換算ノイズ 〔µV rms〕
2	4.096	87.68	59.85
10	0.819	79.39	31.05
63.54	0.129	78.85	5.20
128.18	0.064	76.83	3.25

図9に示したのは、同じ回路構成でS/N比の評価を行った結果です。PGIAのゲインを高く設定すると、全体のダイナミック・レンジやS/N比が低下します。これは、個々の抵抗、アンプ、μModule製品であるADAQ23875に固有のノイズに起因します。

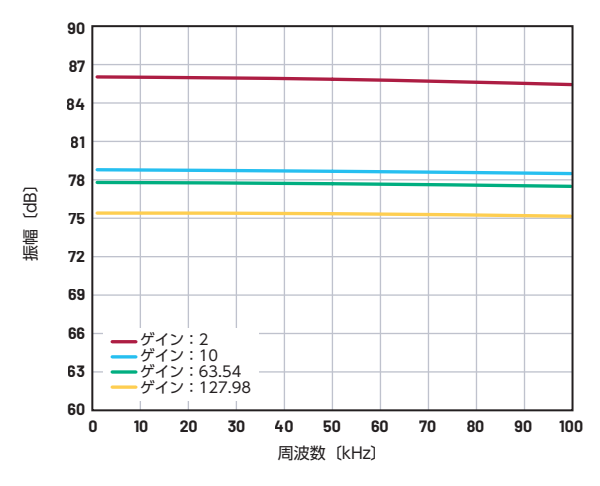


図9. PGIAでADAQ23875を駆動した場合の S/N比と周波数の関係

ADAQ23878は、高いサンプリング・レートと高い精度を誇る製品です。これを使用すれば、オーバーサンプリングを利用してノイズを低減することができます。すなわち、広い帯域幅にわたってrmsノイズを極めて低いレベルに抑え、小振幅の信号を検出することが可能になります。サンプル・レートを15MSPSに設定すれば、アンチエイリアシング(折返し誤差防止)フィルタの要件が大幅に緩和されます。また、高速なトランジェントや小さな信号レベルをデジタル化する際の帯域幅を最大化することが可能です。なお、ここで言うオーバーサンプリングとは、ナイキスト基準を満たすために必要な信号帯域幅の2倍をはるかに超える周波数でサンプリングを実施するという意味です。例えば、ADAQ23875で4倍のオーバーサンプリングを行うと、事実上、分解能が1ビット増加したのと同等の性能が得られます。つまり、ダイナミック・レンジで言えば6dBの改善が図れるということになります。

オーバーサンプリングによるダイナミック・レンジの向上(dB 単位) は、 $\Delta DR = 10 \times log10$ (OSR) という式で表せます (OSRはオーバーサンプリング比)。ADAQ23875のダイナミッ ク・レンジは、サンプリング・レートが15MSPS、リファレンス が4.096V、入力をグラウンドに短絡した状態で91dB(代表値) です。ADAQ23875で256倍のオーバーサンプリングを行っ た場合、各ゲインの値に対して、29.297kHzの信号帯域幅、約 111dBのダイナミック・レンジが得られることになります。した がって、µVレベルの小振幅の信号を正確に検出することが可能 です。オーバーサンプリングを適用すれば、必要な測定に応じて、 ノイズと帯域幅の間でトレードオフを行うことができます。

歪み

続いて、同じ回路で歪みを評価した結果を示します。図10と図 11に示したのが、THDの評価結果です。それぞれ100kHzまで の範囲と、1MHzまでの範囲を対象としています。PGIAのゲイ ンと入力信号の周波数を高めるにつれて、THD性能は徐々に低下 します。なぜなら、ADA4898-1の帯域幅とスルー・レートが徐々 に低下するからです。なお、図11には、PGIAでADAQ23875 を駆動した場合に加え、PGIA製品である「LTC6373」と ADA4945-1を組み合わせて、15MSPSで動作するLTC2387-16を駆動した場合のTHD性能も示しています。2種類のシグナ ル・チェーンにおけるTHD性能の違いを確認してみてください。

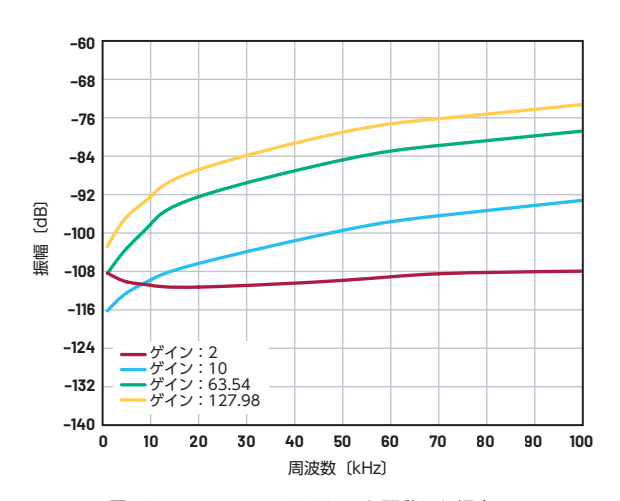


図 10. PGIA でADAQ23875 を駆動した場合の THDと周波数の関係(100kHzまで)

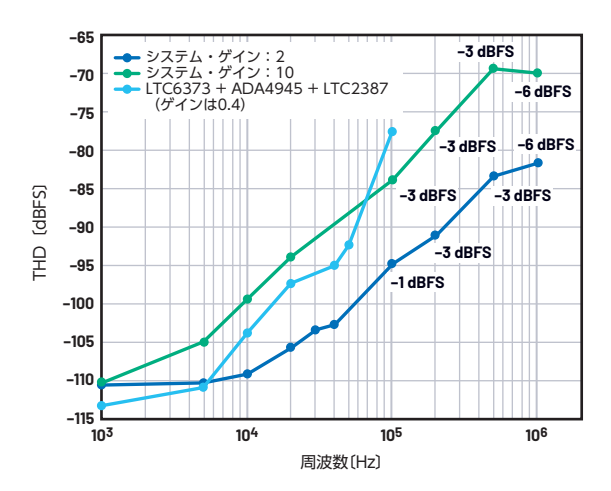


図11. PGIAでADAQ23875を駆動した場合のTHDと周波数の関係 (1MHzまで)。LTC6373、ADA4945-1、LTC2387-16を 組み合わせた場合のTHDも示しています。

INL & DNL

PGIAによってADAQ23875を駆動する場合、シグナル・チェー ン全体のDC精度を維持することも重要になります。図12と図 13は、PGIAのゲインを2に設定した場合の評価結果です。それ ぞれ、代表的な積分非直線性(INL)と微分非直線性(DNL)の 性能を表しています。ゲインを他の値に設定した場合にも、INL とDNLは±0.5LSB以内に収まります。

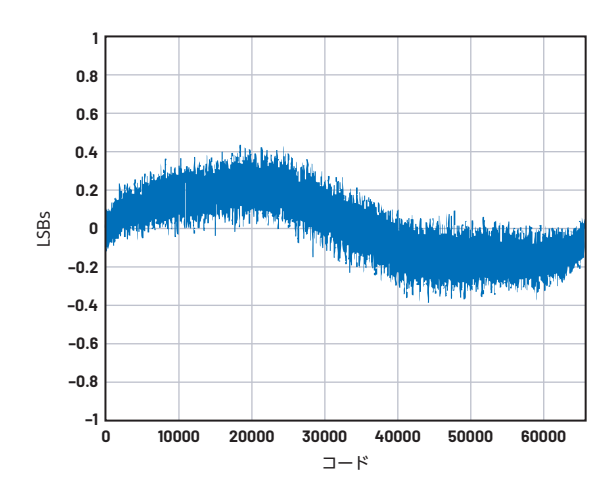


図12. PGIA (ゲインは2) で ADAQ23875を駆動した場合のINL

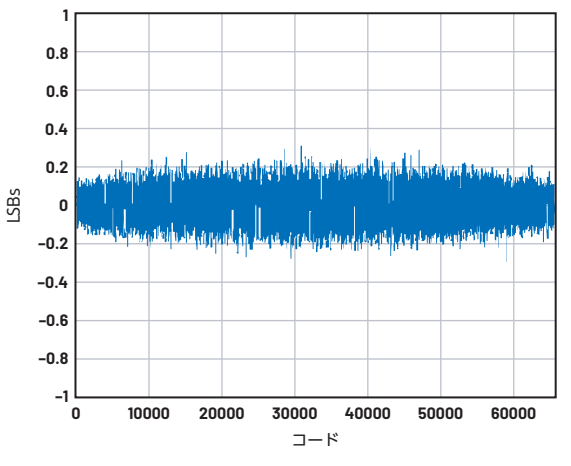


図13. PGIA (ゲインは2) で ADAQ23875を駆動した場合のDNL

まとめ

本稿では、ディスクリート構成で実現した広帯域対応のPGIAの設計/評価結果について説明しました。PGIAとしては、アンプ(ADA4898-1)、マルチプレクサ(ADG1209)、高精度の整合抵抗(LT5400)を組み合わせた回路を例にとりました。また、数十mVから10V未満までのシングルエンド/差動信号をPGIAに入力し、16ビット、15MSPSに対応するμModuleベースのシグナル・チェーン(ADAQ23875)を駆動した場合の評価結果も示しました。シグナル・チェーン全体としては、市場で入手可能なモノリシックのPGIA製品を使用した場合よりも優れた精度が得られています。なお、この広帯域対応のシグナル・チェーンは、自動試験装置(ATE)/電源監視システム/アナライザ・システム向けのテスト装置の開発に携わる特定のお客様向けにカスタマイズされたものです。

参考資料

Maithil Pachchigar 「オーバーサンプリングを使用したSAR ADCのダイナミック・レンジの拡大」 Analog Devices、2015 年6月

CN-0560、回路ノート「高精度・広帯域幅の電流測定シグナル・ チェーン」Analog Devices、2022年6月



著者について

Maithil Pachchigarは、アナログ・デバイセズのシステム・アプリケーション・エンジニアです。産業&マルチマーケット事業部門(マサチューセッツ州ウィルミントン)に所属しています。2010年に入社して以来、高精度のシグナル・チェーン向けソリューションを担当。計測分野、産業分野、ヘルスケア分野のお客様をサポートしています。半導体業界には2005年から携わっており、数多くの技術資料を執筆/共同執筆してきました。インドのセダー・バラブヒバイ国立工科大学で電子工学の学士号、サンノゼ州立大学で電気電子工学の修士号、シリコン・バレー大学で経営学の修士号を取得しています。



著者について

John Neeko Garlitosは、アナログ・デバイセズ(フィリピン GT)のプロダクト・アプリケーション・エンジニアです。入社は2017年で、µModule技術を採用したシグナル・チェーン・ソリューション部門に所属。製品とリファレンス回路の開発を担当しています。フィリピン工科大学ビサヤ校で電子工学の学士号、フィリピン大学ディリマン校で電気工学の修士号を取得しています。



VISIT ANALOG.COM/JP